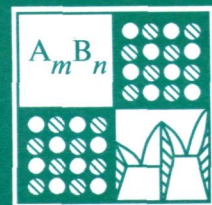


ISSN 0002-337X

Том 54, Номер 6

Июнь 2018

# НЕОРГАНИЧЕСКИЕ МАТЕРИАЛЫ



<http://www.naukaran.com>



“НАУКА”

# СОДЕРЖАНИЕ

## Том 54, номер 6, 2018

|  |     |
|--|-----|
| Самораспространяющийся высокотемпературный синтез порошка карбида титана в условиях давления со сдвигом<br><i>А. М. Столин, П. М. Бажин, М. И. Альмов, М. В. Михеев</i>  | 547 |
| Оптимизация карбосиликотермического синтеза MAX-фазы $Ti_4SiC_3$<br><i>Е. И. Истомина, П. В. Истомин, А. В. Надуткин, В. Э. Гросс, А. С. Богданова</i>   | 554 |
| Особенности структуры порошков системы Fe–Cr, полученных механическим сплавлением<br><i>Ю. В. Балдохин, В. В. Чердынцев</i>  | 564 |
| Размерный эффект при расслаивании твердого раствора Cr–W<br><i>А. В. Шишулин, В. Б. Федосеев</i>   | 574 |
| Особенности окисления наночастиц диборида циркония<br><i>Г. В. Калинников, А. А. Винокуров, С. Е. Кравченко, Н. Н. Дремова, С. Е. Надхина, С. П. Шилкин</i>  | 579 |
| Контактное взаимодействие в системе металл-катализатор роста нитевидных нанокристаллов– $SiO_2$<br><i>В. А. Небольсин, А. И. Дунаев, А. С. Самофалова, В. В. Корнеева</i>  | 587 |
| Рассеяние ИК-излучения оптически неоднородными пленками нанопористого анодного оксида алюминия<br><i>Е. Н. Муратова, Л. Б. Матюшкин, В. А. Мошников, К. В. Чернякова, И. А. Врублевский</i>                              | 593 |
| Новая нанофаза $Ti_9O_{10}$ , полученная термообработкой нестехиометрического размолотого нанопорошка $TiO_y$<br><i>А. А. Валеева, М. Г. Костенко, С. З. Назарова, Е. Ю. Герасимов, А. А. Ремпель</i>                    | 597 |
| Энтальпия образования нестехиометрической шпинели $MgAl_2O_4 \cdot 0.793Al_2O_3$ при 1900 К по данным высокотемпературной масс-спектрометрии<br><i>Н. А. Грибченкова, К. Г. Сморчков, А. Г. Колмаков, А. С. Алиханян</i> | 605 |
| Фотоэлектрические поля и ширина запрещенной зоны в легированных кристаллах ниобата лития<br><i>Н. В. Сидоров, М. Н. Палатников, Н. А. Теплякова, А. В. Сюй, Е. О. Киле, Д. С. Штарев</i>                                 | 611 |
| Синтез и исследование люминесцентных свойств люминофора $CsBaGd(MoO_4)_3: Er^{3+}$ с шеелитоподобной структурой<br><i>Н. М. Кожевникова</i>  | 616 |
| Получение и тепловое расширение сложных фосфатов Ca, Fe, Zr со структурой $NaZr_2(PO_4)_3$<br><i>Д. О. Савиных, С. А. Хайнаков, А. И. Орлова, С. Гарсия-Гранда</i>   | 622 |
| Прогнозирование фазовой стабильности твердых растворов $Sc_{1-x}Ln_xPO_4$ ( $Ln = Gd–Lu, Y$ ) со структурой циркона<br><i>Е. И. Гетьман, С. В. Радио, Л. И. Арданова</i>   | 628 |

Проводимость корунд-углеродного резистивного материала на основе искусственного графита и графена

*В. М. Самойлов, Е. А. Данилов, А. В. Николаева, Д. В. Пономарева,  
И. А. Породзинский, Э. Р. Разяпов, И. А. Шаронов, Н. А. Яштулов*

633

Получение, температуропроводность и теплопроводность фосфатных керамик со структурой тридимита

*В. И. Петков, И. В. Корчёмкин, Е. А. Асабина, А. М. Ковальский, А. А. Усенко*

642

Синтез высокодисперсного ортогерманата висмута в расплаве NaCl/KCl

*О. М. Гайтко, В. О. Веселова, В. Д. Володин, А. В. Егорышева*

648

---

---